

توسعه روشی برای ارزیابی خطر آتشسوزی جنگل با استفاده از متغیرهای محیطی و انسان ساخت

سعیده اسکندری

دکتری جنگلداری، دانشکده منابع طبیعی، دانشگاه علوم کشاورزی و منابع طبیعی ساری، ساری، ایران. پست الکترونیک: saeedeheskandari119@yahoo.com

تاریخ پذیرش: ۹۳/۱۰/۲۲

تاریخ دریافت: ۹۳/۰۵/۳۱

چکیده

پژوهش پیش رو به منظور ارزیابی خطر آتشسوزی به روش همپوشانی و با استفاده از متغیرهای مختلف محیطی و انسان ساخت در جنگل های بخش سه نکا- ظالمرود انجام شد. ابتدا نقشه های زیر معيارهای عامل های فیزیوگرافی، زیست شناختی، اقلیمی و انسان ساخت تهیه شد. همچنین نقشه آتشسوزی های گذشته منطقه از شرکت نکاچوب تهیه و رقومی شد. سپس نقشه مناطق آتشسوزی گذشته با نقشه زیر معيارهای هر یک از معيارهای مذکور روی هم گذاری شد تا میزان همپوشانی طبقات پر خطر این نقشه ها با محدوده آتشسوزی های گذشته (اهمیت یا وزن هر زیر معيار در وقوع آتشسوزی) مشخص شود. نتایج نشان داد زیر معيارهای نوع و تراکم پوشش گیاهی، فاصله از رودخانه و میانگین رطوبت نسبی سالانه بیشترین تأثیر را در وقوع آتشسوزی این جنگل ها داشته اند. نقشه خطر وقوع آتشسوزی با ادغام وزنی کلیه نقشه های زیر معيارهای موثر در GIS در پنج طبقه تهیه شد. در نهایت نقشه آتشسوزی های گذشته با نقشه خطر آتشسوزی روی هم گذاری شد. نتایج نشان داد که مناطق پر خطر آتشسوزی در نقشه پتانسیل خطر تهیه شده با روش همپوشانی، تطابق زیادی با مناطق آتشسوزی های گذشته دارند که نشان دهنده اعتبار و صحت زیاد روش مورد استفاده می باشد.

واژه های کلیدی: جنگل های نکا- ظالمرود، خطر آتشسوزی جنگل، سیستم اطلاعات جغرافیایی، معيارهای انسان ساخت،
معیارهای محیطی

مقدمه

آتشسوزی یکی از فاکتورهای مهم اکولوژیکی جنگل ها است که وقوع آن دقیقاً قابل پیش بینی نیست (Röder *et al.*, 2008). این پدیده مخرب اکولوژیکی ارتباط تنگاتنگی با عامل های محیطی و انسان ساخت دارد. به طور کلی علل وقوع آتشسوزی ها در جنگل های جهان متعدد و ناشی از عامل های طبیعی (محیطی) و مصنوعی (انسان ساخت) است. فاکتورهای محیطی مؤثر بر وقوع آتشسوزی های جنگلی متعدد و دارای درجه اهمیت متفاوتی هستند. این فاکتورها شامل عامل های زیست شناختی، فیزیوگرافی و اقلیمی

معنی داری دارد. نتایج مطالعه Lozano و همکاران (۲۰۰۸) نیز نشان داد که براساس مدل‌های رگرسیون درختی، وقوع آتشسوزی با فاکتورهای محیطی در مقیاس‌های مکانی مختلف ارتباط زیادی دارد. نتایج مطالعه Zumbrunnen و همکاران (۲۰۱۱) در سوییس نیز نشان داد که اقلیم، وجود جاده‌ها و احشام نقش مهمی در وقوع آتشسوزی ایفا می‌کنند. به علاوه رابطه غیرخطی بین وقوع آتشسوزی و عوامل انسان‌ساخت وجود دارد و در اقلیم گرمتر وقوع آتشسوزی بیشتر است. همچنین نتایج مطالعه Biranvand و همکاران (۲۰۱۱) در غرب ایران نشان داد که پوشش گیاهی و رطوبت مواد سوختنی مهمترین عوامل‌های بوم‌شناختی مؤثر بر توسعه آتشسوزی هستند. به علاوه تاکنون مطالعات مختلفی برای مدل‌سازی و ارزیابی خطر آتشسوزی با روش‌های مختلف در دنیا انجام شده است. برخی از مطالعات با مدل‌های خطر آتشسوزی از پیش تعریف شده انجام شده است (Dong *et al.*, 2005; Keane *et al.*, 2010; Paz *et al.*, 2011; Eskandari *et al.*, 2013a). برخی از مطالعات نیز از روش تحلیل سلسله‌مراتبی برای مدل‌سازی خطر آتشسوزی جنگل استفاده کرده‌اند (Chuvieco & Congalton, 1989; Mohammadi *et al.*, 2010; Sowmya & Somashekar, 2010; Salamati *et al.*, 2011; Mahdavi *et al.*, 2012 و برخی دیگر نیز روش تحلیل سلسله‌مراتبی فازی را برای مدل‌سازی خطر آتشسوزی بکار برده‌اند (Vadrevu *et al.*, 2009; Eskandari *et al.*, 2013b, Zarekar *et al.*, 2013). همچنین برخی پژوهش‌ها از رگرسیون لجستیک برای مدل کردن خطر وقوع آتشسوزی استفاده کرده‌اند (Vasconcelo *et al.*, 2001; Rollins *et al.*, 2004; Martinez *et al.*, 2009; Jurdaa *et al.*, 2012; Sitanggang *et al.*, 2013 شبکه عصبی مصنوعی برای پیش‌بینی رژیم‌های آتشسوزی استفاده کرده‌اند (Vasconcelo *et al.*, 2001; Alonso *et al.*, 2002; Betanzos *et al.*, 2004; Vakalis *et al.*, 2009; Vasilakos *et al.*, 2009; Radpour *et al.*, 2011; Ali

Somashekar, 2010; Santiago & Kheladze, 2011; Mahdavi *et al.*, 2012). افزایش درجه حرارت، کاهش رطوبت نسبی و بارندگی نیز از عوامل‌های اقلیمی مؤثر در وقوع آتشسوزی جنگل‌ها هستند (Dong *et al.*, 2005; Sibold & Veblen, 2006; Cortez & Morais, 2007 در ایران نیز دمای بالا در فصول گرم سال و خشکی حاصل از آن به همراه وجود مواد سوختنی با ضریب خشکی زیاد در سطح مناطق جنگلی از علل اصلی وقوع آتشسوزی در جنگل‌های نکا محسوب می‌شود (Yousefi & Jalilvand, 2010)، به طوری که بین تعداد حریق‌های به وقوع پیوسته در بهشهر و متوسط درجه حرارت سالانه و متوسط بارندگی سالانه در سطح اطمینان ۹۵ درصد رابطه معنی داری به دست آمده است (Eskandari & Jalilvand, 2012). نتایج پژوهش دیگری در ایران نیز نشان داد که پارامترهای اقلیمی در پیش‌بینی خطر وقوع آتشسوزی کارایی لازم را دارند (Ali Mahmoudi Sarab *et al.*, 2012). بجز عوامل‌های طبیعی، بسیاری از آتشسوزی‌های جنگلی در جهان منشأ انسانی دارند (Anonymous, 2001; Stolzenburg, 2001; FAO, 2007). فاکتورهای انسان‌ساختی که باعث وقوع آتشسوزی در جنگل می‌شوند، شامل تراکم جاده‌ها، محوطه‌های کمپ، زمین‌های کشاورزی و مناطق مسکونی در داخل یا اطراف جنگل هستند. بسیاری از آتشسوزی‌ها به عنوان ابزاری برای پاک کردن زمین‌ها برای کشاورزی یا جنگلکاری ایجاد می‌شوند (Stolle *et al.*, 2003). پژوهش‌های بسیاری در خصوص فاکتورهایی که بر شدت آتشسوزی تأثیر می‌گذارند و همچنین تأثیر فاکتورهای محیطی و انسان‌ساخت در وقوع آتشسوزی Keeley & Fortheringham, 2001; Minich, 2001; Broncano & Retana, 2004; Schoennagel *et al.*, 2004; Alexander *et al.*, 2006; Moreno و Vazquez (Lentile *et al.*, 2006 ۲۰۰۱) پراکندگی مکانی آتشسوزی‌ها در مرکز اسپانیا را در ارتباط با عوامل‌های محیطی مورد مطالعه قرار دادند. نتایج نشان داد که وسعت مناطق سوخته با تopyوگرافی منطقه ارتباط

شهرهای نکا- بهشهر در استان مازندران واقع شده است. این بخش جزء مجتمع جنگلی نکا- ظالمرود و در حوضه رودخانه نکا به فاصله حدود ۱۵ کیلومتری شهرستان نکا و در امتداد جاده نکا- بهشهر قرار دارد. بخش سه طرح جنگلداری نکا- ظالمرود با وسعت حدود ۱۵۳۰۷/۲ هکتار در عرض شمالی $۴۰^{\circ} ۳۶^{\prime}$ تا $۳۰^{\circ} ۲۶^{\prime}$ و طول شرقی $۵۳^{\circ} ۰۵^{\prime}$ تا $۱۵^{\circ} ۵۳^{\prime}$ درجه واقع شده است. (شکل ۱). بخش سه از ارتفاعات کوتاه تا نسبتاً بلند با شیب توپوگرافی غالباً ملایم، عمق خاک نسبتاً زیاد و پوشش جنگلی نسبتاً انبوه تشکیل شده است. حداقل ارتفاع آن از سطح دریای آزاد حدود ۹۰ متر و حدکثر ارتفاع آن ۸۲۰ متر می‌باشد. جنگل‌های این منطقه از نوع دانه‌زاد ناهمسال و آمیخته هستند. گونه‌های گیاهی منطقه شامل انواع گونه‌های درختی از جمله راش، ممز، بلندمازو، توسکای بیلاقی، شیردار، نمدار، انجیلی، آزاد و درختچه‌هایی مانند ازگیل، ولیک، شمشاد، گوجه وحشی و همچنین گونه‌های علفی و خشبي مانند آسپرولا، کارکس، کوله‌خاس، سیکلامن، بنفسه، پامچال، تمشك و سرخس می‌باشد. جاده‌های منطقه عمدتاً جاده جنگلی درجه دو محسوب می‌شود. این بخش به هفت سری تقسیم شده است که طی سال‌های گذشته سابقه حریق‌های شدید و وسیع را داشته است (Anonymous, 2010).

روش پژوهش
روش تهیه نقشه آتش‌سوزی‌های گذشته و نقشه‌های عامل‌های مختلف مؤثر در آتش‌سوزی جنگل و روی‌هم گذاری آنها برای انجام این پژوهش ابتدا نقشه موقعیت آتش‌سوزی‌های بهوقوع پیوسته در جنگل‌های بخش سه نکا- ظالمرود از شرکت سهامی نکاچوب تهیه و در GIS رقومی شد. سپس نقشه متغیرهای مؤثر در آتش‌سوزی تهیه شد. متغیرهای مؤثر در آتش‌سوزی شامل چهار معیار اصلی و ۱۷ زیرمعیار مربوط به آنها بودند (جدول ۱).

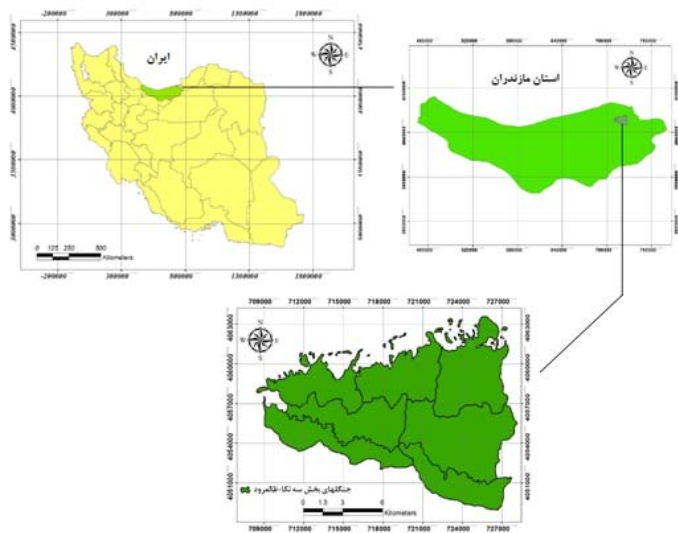
.(Mahmoudi Sarab *et al.*, 2012

با وجود مطالعات مختلف انجام شده، تاکنون پژوهشی که ارزیابی خطر آتش‌سوزی و تأثیر هر کدام از عامل‌های موثر در وقوع حریق را از طریق ارتباط بین متغیرهای محیطی و انسان‌ساخت با آتش‌سوزی‌های واقعی گذشته مورد توجه قرار دهد، در جنگل‌های ایران انجام نشده است، درحالی‌که ارزیابی خطر آتش‌سوزی از طریق بررسی ارتباط بین آتش‌سوزی‌های گذشته با عامل‌های محیطی و انسان‌ساخت در واقعیت ممکن است نتایج مطلوبی را داشته باشد. جنگل‌های منطقه نکا- ظالمرود از جمله مناطقی است که در سال‌های اخیر دچار آتش‌سوزی‌های مکرر و مداومی شده است. براساس گزارش کارشناسان اداره کل منابع طبیعی مازندران، بیشترین آتش‌سوزی استان مازندران در سال‌های اخیر در جنگل‌های نکا اتفاق افتاده است، بهطوری‌که تنها در سال ۱۳۸۹ حدود ۵۳ فقره آتش‌سوزی در این جنگل‌ها به وقوع پیوسته که در اثر آن حدود ۳۸ هکتار از این جنگل‌ها از بین رفته است (Anonymous, 2011). بنابراین هدف از این مطالعه، بررسی اهمیت متغیرهای مختلف محیطی و انسان‌ساخت در آتش‌سوزی جنگل‌ها و ارزیابی خطر آتش‌سوزی براساس تطابق هر یک از این متغیرها با آتش‌سوزی‌های گذشته و درنهایت تهیه نقشه پتانسیل خطر آتش‌سوزی است. تهیه نقشه پتانسیل خطر آتش‌سوزی با استفاده از روشی مناسب در پیش‌بینی وقوع آتش‌سوزی در جنگل‌های منطقه نقش بسزایی دارد و به مدیران جنگل کمک می‌کند تا با نظارت بیشتر به پیشگیری و مقابله با این مشکل ملی بپردازند.

مواد و روش‌ها

منطقه مورد مطالعه

حدود این پژوهش بخش سه طرح جنگلداری نکا- ظالمرود می‌باشد که در حوضه آبخیز ۷۷ و در جنوب



شکل ۱- موقعیت منطقه مورد مطالعه در ایران

جدول ۱- معیارها و زیرمعیارهای مؤثر در آتش‌سوزی و منبع تهیه آنها

معیار	زیرمعیار	منبع
فیزیوگرافی	شیب	ASTER
فیزیوگرافی	جهت	ASTER
فیزیوگرافی	ارتفاع	ASTER
زیست‌شناسی	فاصله از رودخانه	طرح جنگلداری بخش سه نکا- ظالمرود
زیست‌شناسی	نوع پوشش گیاهی	طرح جنگلداری بخش سه نکا- ظالمرود
زیست‌شناسی	تراکم پوشش گیاهی	طرح جنگلداری بخش سه نکا- ظالمرود
زیست‌شناسی	عمق لاشبرگ	نمونه برداری زمینی
زیست‌شناسی	رطوبت خاک	نمونه برداری زمینی
زیست‌شناسی	رطوبت لاشبرگ	نمونه برداری زمینی
اقلیمی	میانگین درجه حرارت سالانه	اداره کل هواشناسی استان مازندران
اقلیمی	میانگین بارندگی سالانه	اداره کل هواشناسی استان مازندران
اقلیمی	میانگین رطوبت نسبی سالانه	اداره کل هواشناسی استان مازندران
اقلیمی	میانگین شدت باد سالانه	اداره کل هواشناسی استان مازندران
انسان ساخت	فاصله از جاده	طرح جنگلداری بخش سه نکا- ظالمرود
انسان ساخت	فاصله از زمین‌های زراعی	طرح جنگلداری بخش سه نکا= ظالمرود
انسان ساخت	فاصله از مناطق مسکونی (روستا)	طرح جنگلداری بخش سه نکا- ظالمرود

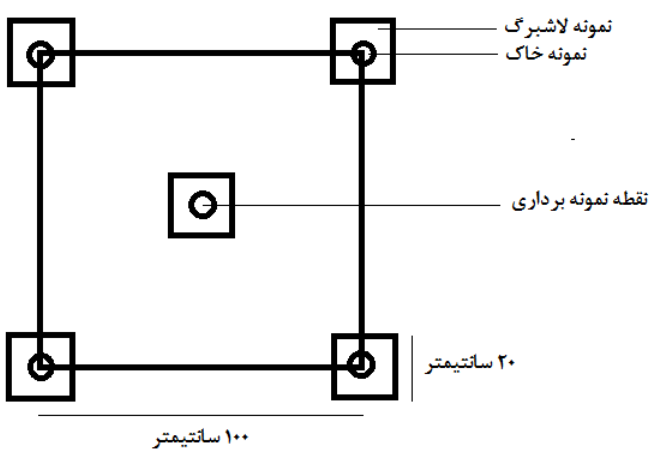
نمونه مورد نیاز در آن محاسبه شد. روش محاسبه تعداد نمونه مورد نیاز در هر تیپ بدین ترتیب بود که مساحت هر تیپ به مساحت کل منطقه موردمطالعه تقسیم شد و عدد حاصل در تعداد کل نمونه‌ها (۱۰۰) ضرب شد (جدول ۲)، سپس نمونه‌ها به صورت تصادفی در هر تیپ انتخاب شدند و موقعیت آنها بر روی نقشه تیپ گیاهی مشخص شد. در عملیات میدانی موقعیت نقاط نمونه در عرصه شناسایی شد. در هر یک از نقاط نمونه‌برداری، عمق لاشبرگ در مرکز و چهار گوشه یک پلاط مربعی 1×1 مترمربعی با استفاده از خطکش فلزی اندازه‌گیری شد (شکل ۲). از میانگین اعداد عمق لاشبرگ برای اندازه واقعی عمق لاشبرگ در هر نقطه نمونه استفاده شد. همچنین در مرکز و چهار گوشه همان پلاط یک مترمربعی، نمونه‌های لاشبرگ با استفاده از فریم فلزی 20×20 سانتی‌متری و نمونه‌های خاک با استفاده از استوانه فلزی 10 سانتی‌متری جمع‌آوری شدند تا از اندازه‌گیری رطوبت میانگین آنها در آزمایشگاه خاکشناسی برای مقدار نهایی رطوبت لاشبرگ و خاک در هر نقطه نمونه‌برداری استفاده شود. برآورد بافت نمونه‌های خاک نیز در آزمایشگاه خاکشناسی انجام شد. درنهایت از داده‌های مربوط به این فاکتورها در نقاط نمونه داخل هر تیپ گیاهی میانگین گرفته شد و عدد میانگین به عنوان مشخصات نهایی عمق لاشبرگ، رطوبت لاشبرگ، رطوبت خاک و بافت خاک در آزمایشگاه خاکشناسی انجام شد. بدین ترتیب نقشه نهایی این فاکتورها براساس نقشه تیپ و اطلاعات نقاط نمونه به صورت رقومی در GIS تهیه شد. هر کدام از این نقشه‌ها بر حسب هدف این پژوهش طبقه‌بندی شدند و در تعداد طبقات مورد نظر تهیه گردیدند.

معیارهای فیزیوگرافی در این پژوهش شامل زیرمعیارهای شیب، جهت، ارتفاع و فاصله از رودخانه می‌باشد. برای تهیه نقشه‌های شیب، جهت و ارتفاع از داده‌های DEM سنجنده ASTER با اندازه پیکسل ۲۵ متر استفاده شد. هر کدام از این نقشه‌ها بر حسب هدف پژوهش طبقه‌بندی شده و در پنج طبقه آماده گردیدند. نقشه تنها رودخانه موجود در جنگلهای بخش سه نکا- ظالمرود (مهربان‌رود) نیز از شرکت سهامی نکاچوب تهیه و مسیر رودخانه در GIS رقومی شد، سپس در اطراف این نقشه بافر (حائل) ۲۰۰ متری درنظر گرفته شد (Dong *et al.*, 2005; Mahdavi *et al.*, 2012) و نقشه مربوطه تهیه گردید.

معیارهای زیست‌شناسختی در این پژوهش شامل نوع پوشش گیاهی، تراکم پوشش گیاهی، عمق لاشبرگ، رطوبت لاشبرگ، رطوبت خاک و بافت خاک می‌باشد. نقشه‌های نوع و تراکم پوشش گیاهی از شرکت سهامی نکاچوب تهیه و در GIS رقومی شد. برای تهیه نقشه‌های عمق لاشبرگ، رطوبت لاشبرگ، رطوبت خاک و بافت خاک از نمونه‌برداری زمینی ۱۰۰ نمونه خاک و لاشبرگ با بکارگیری GPS استفاده شد. برای اختصاص این ۱۰۰ نمونه به کل محدوده موردمطالعه و دستیابی به اطلاعات عمق لاشبرگ، رطوبت لاشبرگ، رطوبت خاک و بافت خاک از Zobeiri, (2007). با توجه به اینکه خصوصیات عمق لاشبرگ، رطوبت لاشبرگ، رطوبت خاک و بافت خاک در هر طبقه پوشش گیاهی نسبتاً مشابه است، هر طبقه نوع پوشش گیاهی به عنوان یک مونه درنظر گرفته شد، بنابراین پیش از شروع عملیات میدانی، با توجه به مساحت هر تیپ (مونه) تعداد

جدول ۲- تعداد نمونه‌های برداشت شده به تفکیک تیپ‌های پوشش گیاهی

ردیف	تیپ پوشش گیاهی (نمونه)	مساحت تقریبی (هکتار)	تعداد نمونه
۱	مرز	۹۹۴	۷
۲	مرز- راش	۱۸۳۲	۱۲
۳	مرز- انگلی	۱۴۷۲	۱۰
۴	راش- مرز	۸۵۹	۶
۵	انگلی- مرز	۶۸۷	۵
۶	بلوط	۴۰۹	۳
۷	آزاد- بلوط	۲۶۱	۲
۸	آمیخته	۹/۲	۱
۹	منطقه حفاظت شده	۵۹۶۴	۳۶
۱۰	جنگل‌گاری سوزنی برگ	۲۴۹۲	۱۸
۱۱	زمین کشاورزی	۱۸۰	.
۱۲	بوته‌زار	۶	.
۱۳	عرصه سرگلاخی	۱۴۲	.
کل	کل	۱۵۳۰۷/۲	۱۰۰



شکل ۲- طرح نمونه‌برداری نمونه خاک و لاشبرگ

واحد برای هر یک از داده‌های اقلیمی (بارندگی، رطوبت نسبی، درجه حرارت و شدت باد) مربوط به هر ایستگاه به دست آید. برای تهیه نقشه رقومی داده‌های اقلیمی از روش درونیابی GIS IDW در GIS استفاده شد، سپس نقشه مربوط به این عامل‌ها طبقه‌بندی شد و نقشه نهایی آنها تهیه شد.

معیارهای انسان‌ساخت شامل زیرمعیارهای فاصله از

معیارهای اقلیمی شامل میانگین بارندگی، رطوبت نسبی، درجه حرارت و شدت باد سالانه می‌باشد. اطلاعات مربوط به این فاکتورها طی ۲۰ سال گذشته از ایستگاه‌های هواشناسی با یکدیگر، تبادل افراچال، دشت‌ناز و ساری که در اطراف محدوده جنگل‌های بخش سه نکا- ظالمروド قرار دارند، تهیه شد، سپس از اطلاعات این ایستگاه‌ها در ۲۰ سال گذشته میانگین گرفته شد تا یک عدد

براساس هدف پژوهش در GIS طبقه‌بندی شد. پس از تهیه نقشه‌های تمام زیرمعیارها، نقشه مناطق آتش‌سوزی گذشته با نقشه‌های هر یک از زیرمعیارهای مذکور در محیط GIS روی هم گذاری شد تا میزان همیوشانی طبقات پرخطر این نقشه‌ها با محدوده آتش‌سوزی‌های گذشته مشخص شود. طبقات خطر هر کدام از نقشه‌های متغیرها و حساسیت آنها به آتش‌سوزی در جدول‌های ۳ تا ۶ نشان داده شده است.

جاده‌ها، مناطق مسکونی و زمین‌های زراعی بود. این معیارها با استفاده از اطلاعات موجود در شرکت سهامی نکاچوب و عملیات میدانی شناسایی شدند و نقشه‌های مربوط به آنها به صورت رقومی در GIS تهیه شد. سپس در اطراف جاده‌ها با فرهایی با شاعع ۲۰۰ متر و در اطراف مناطق مسکونی (روستاهای) و زمین‌های زراعی با فرهایی با شاعع ۱۰۰۰ متر درنظر گرفته شد (Jaiswal *et al.*, 2002; Dong *et al.*, 2005; Sowmya & Somashekhar, 2010; Santiago & Kheladze, 2011) و نقشه‌های بافر آنها

جدول ۳- اختصاص وزن به طبقات نقشه‌های زیرمعیارهای فیزیوگرافی در GIS

زیرمعیار	طبقات	حساسیت به آتش	میزان خطر	امتیاز (وزن درون‌لایه‌ای)
شیب (درصد)	بیشتر از ۴۰ درصد	خیلی زیاد	بسیار پرخطر	۱۰
	۴۰-۳۰ درصد	زیاد	پرخطر	۸
	۳۰-۲۰ درصد	متوسط	خطر متوسط	۶
	۲۰-۱۰ درصد	کم	کم خطر	۲
	۱۰-۰ درصد	خیلی کم	بسیار کم خطر	۰
جهت	جنوبی	خیلی زیاد	بسیار پرخطر	۱۰
	غربی	زیاد	پرخطر	۸
	بدون جهت (مسطح)	متوسط	خطر متوسط	۴
	شرقی	کم	کم خطر	۲
	شمالی	خیلی کم	بسیار کم خطر	۰
ارتفاع از سطح دریا (متر)	۱۵۰-۱۱ متر	خیلی زیاد	بسیار پرخطر	۱۰
	۳۰۰-۱۵۰ متر	زیاد	پرخطر	۸
	۴۵۰-۳۰۰ متر	متوسط	خطر متوسط	۶
	۶۰۰-۴۵۰ متر	کم	کم خطر	۴
	بیشتر از ۶۰۰ متر	خیلی کم	بسیار کم خطر	۰
فاصله از رودخانه (متر)	بیشتر از ۸۰۰ متر	خیلی زیاد	بسیار پرخطر	۱۰
	۸۰۰-۶۰۰ متر	زیاد	پرخطر	۸
	۶۰۰-۴۰۰ متر	متوسط	خطر متوسط	۶
	۴۰۰-۲۰۰ متر	کم	کم خطر	۲
	۲۰۰-۰ متر	خیلی کم	بسیار کم خطر	۰

جدول ۴- اختصاص وزن به طبقات نقشه‌های زیرمعیارهای زیست‌شناختی در GIS

زیرمعیار	طبقات	حساسیت به آتش	میزان خطر	امتیاز (وزن درون‌لایه‌ای)
نوع پوشش گیاهی	منطقه حفاظت شده	خیلی زیاد	بسیار پرخطر	۱۰
	مرز- راش و راش - مرز	خیلی زیاد	بسیار پرخطر	۹
	مرز و بوتهزار	زیاد	پرخطر	۸
	مرز- انگلی	زیاد	پرخطر	۷
	انگلی- مرز	متوسط	خطر متوسط	۶
	جنگلکاری سوزنی برگ	متوسط	خطر متوسط	۵
	بولوت	متوسط	خطر متوسط	۴
	آزاد- بلوط	کم	کم خطر	۳
	آمیخنه	کم	کم خطر	۲
	کشاورزی	خیلی کم	بسیار کم خطر	۱
تراکم پوشش گیاهی (مترمکعب بر هکتار)	عرضه سنگلاخی	بدون خطر	بدون خطر	.
	منطقه حفاظت شده	خیلی زیاد	بسیار پرخطر	۱۰
	بیشتر از ۳۵۰	خیلی زیاد	بسیار پرخطر	۹
	۳۵۰-۲۰۰	زیاد	پرخطر	۸
	۲۰۰-۱۰۰	متوسط	خطر متوسط	۶
	کمتر از ۱۰۰	کم	کم خطر	۵
	جنگلکاری سوزنی برگ	خیلی کم	بسیار کم خطر	۴
	کشاورزی	بدون خطر	بدون خطر	.
	۴/۴-۴/۱	خیلی زیاد	بسیار پرخطر	۱۰
	۴/۱-۳/۲	زیاد	پرخطر	۹
عمق لاشبرگ (سانتی‌متر)	۳/۲-۲/۳	متوسط	خطر متوسط	۶
	۰-۲/۳	کم	کم خطر	۳
	.	خیلی کم	بسیار کم خطر	.
	.	خیلی زیاد	بسیار پرخطر	۱۰
	۰-۱۸/۱	زیاد	پرخطر	۶
رطوبت لاشبرگ (درصد)	۱۸/۱-۲۰/۳	متوسط	خطر متوسط	۵
	۲۰/۳-۲۱/۶	کم	کم خطر	۴
	۲۷/۹-۲۷/۷	خیلی کم	بسیار کم خطر	۳
	۲۷/۹-۲۷/۷	بدون خطر	بسیار پرخطر	.
	.	خیلی زیاد	بسیار پرخطر	۱۰
	.	زیاد	پرخطر	۶
بافت خاک	شنی- لومی	خیلی زیاد	بسیار پرخطر	۱۰
	شنی لومی- لومی	زیاد	پرخطر	۸
	لومی- شنی	متوسط	خطر متوسط	۴
	لومی	کم	کم خطر	۲
	زمین بایر	خیلی کم	بسیار کم خطر	.
رطوبت خاک (درصد)	.	خیلی زیاد	بسیار پرخطر	۱۰
	۲۸/۸-۳۰/۵	زیاد	پرخطر	۵
	۳۰/۵-۳۱/۴	متوسط	خطر متوسط	۴
	۳۱/۴-۳۶/۵	کم	کم خطر	۳
	۳۶/۵-۳۸/۹	خیلی کم	بسیار کم خطر	۲
	۳۸/۹-۳۹/۴	بدون خطر	بدون خطر	.

جدول ۵- اختصاص وزن به طبقات نقشه‌های زیرمعیارهای اقلیمی در GIS

زیرمعیار	طبقات	حساسیت به آتش	میزان خطر	امتیاز (وزن درون‌لایه‌ای)
میانگین درجه حرارت سالانه (سانتی‌گراد)	۱۷/۲۱-۱۷/۲۴	خیلی زیاد	بسیار پر خطر	۱۰
	۱۷/۱۸-۱۷/۲۱	زیاد	پر خطر	۸
	۱۷/۱۵-۱۷/۱۸	متوسط	خطر متوسط	۶
	۱۷/۱۲-۱۷/۱۵	کم	کم خطر	۴
	۱۷/۰۹-۱۷/۱۲	خیلی کم	بسیار کم خطر	۰
میانگین رطوبت نسبی سالانه (درصد)	۷۵/۴۲-۷۵/۵۶	خیلی زیاد	بسیار پر خطر	۱۰
	۷۵/۵۶-۷۵/۷	زیاد	پر خطر	۸
	۷۵/۷-۷۵/۸۴	متوسط	خطر متوسط	۶
	۷۵/۸۴-۷۵/۹۸	کم	کم خطر	۴
	۷۵/۹۸-۷۶/۱۴	خیلی کم	بسیار کم خطر	۰
میانگین بارندگی سالانه (میلی‌متر)	۶۰۲/۲۳-۶۰۵	خیلی زیاد	بسیار پر خطر	۱۰
	۶۰۵-۶۰۹	زیاد	پر خطر	۸
	۶۰۹-۶۱۳	متوسط	خطر متوسط	۶
	۶۱۳-۶۱۷	کم	کم خطر	۴
	۶۱۷-۶۲۱	خیلی کم	بسیار کم خطر	۰
میانگین شدت باد سالانه (متر بر ثانیه)	۱۱-۱۲/۵	خیلی زیاد	بسیار پر خطر	۱۰
	۹/۵-۱۱	زیاد	پر خطر	۸
	۸-۹/۵	متوسط	خطر متوسط	۶
	۶/۵-۸	کم	کم خطر	۴
	۵-۶/۵	خیلی کم	بسیار کم خطر	۰

جدول ۶- اختصاص وزن به طبقات نقشه‌های زیرمعیارهای انسان‌ساخت در GIS

زیرمعیار	طبقات	حساسیت به آتش	میزان خطر	امتیاز (وزن درون‌لایه‌ای)
فاصله از جاده (متر)	۲۰۰۰-	خیلی زیاد	بسیار پر خطر	۱۰
	۴۰۰-۲۰۰	زیاد	پر خطر	۸
	۶۰۰-۴۰۰	متوسط	خطر متوسط	۶
	۸۰۰-۶۰۰	کم	کم خطر	۴
	بیش از ۸۰۰ متر	خیلی کم	بسیار کم خطر	۲
فاصله از مناطق مسکونی (متر)	۱۰۰۰-	خیلی زیاد	بسیار پر خطر	۱۰
	۲۰۰۰-۱۰۰۰	زیاد	پر خطر	۸
	۳۰۰۰-۲۰۰۰	متوسط	خطر متوسط	۶
	۴۰۰۰-۳۰۰۰	کم	کم خطر	۴
	بیش از ۴۰۰۰	خیلی کم	بسیار کم خطر	۲
فاصله از زمین زراعی (متر)	۱۰۰۰-	خیلی زیاد	بسیار پر خطر	۱۰
	۲۰۰۰-۱۰۰۰	زیاد	پر خطر	۸
	۳۰۰۰-۲۰۰۰	متوسط	خطر متوسط	۶
	۴۰۰۰-۳۰۰۰	کم	کم خطر	۴
	بیش از ۴۰۰۰	خیلی کم	بسیار کم خطر	۲

نقشه هر زیرمعیار به فرمت رستری تبدیل شد. سپس ارزش‌های پیکسلی در هر نقشه رستری براساس حساسیت به آتش‌سوزی طبقه‌بندی شدند. سپس این طبقات در هر نقشه در محیط ArcGIS 10 استانداردسازی و مقادیر ارزش‌های پیکسلی هر نقشه بین صفر (پتانسیل خطر بسیار کم برای وقوع آتش‌سوزی) تا ۱۰ (پتانسیل خطر بسیار زیاد برای وقوع آتش‌سوزی) ارزش‌گذاری شد. نقشه‌های کلیه Raster زیرمعیارها با اعمال وزن آنها از طریق رویه calculator در نرمافزار ArcGIS 10 تلفیق شدند تا درنهایت یک نقشه ترکیبی (شامل تمام ۱۷ فاکتور مؤثر در آتش‌سوزی) با دامنه ارزش صفر تا ۱۰ به دست آید. سپس نقشه نهایی پتانسیل خطر وقوع آتش‌سوزی با طبقه‌بندی این نقشه ترکیبی براساس ارزش‌های بسیار کم تا بسیار زیاد در پنج طبقه بسیار پرخطر، پرخطر، خطر متوسط، کم خطر و بسیار کم خطر تهیه شد.

نقشه آتش‌سوزی‌های گذشته و اعتبارسنجی نقشه خطر وقوع آتش‌سوزی

به منظور اعتبارسنجی کیفی روش همپوشانی، نقشه پتانسیل آتش‌سوزی منطقه با نقشه مناطق آتش‌سوزی‌های گذشته روی هم گذاری شد. همچنین به منظور اعتبارسنجی کمی نقشه پتانسیل خطر وقوع آتش‌سوزی و روش مورد استفاده برای تهیه آن، مساحت طبقات بسیار پرخطر و پرخطر آتش‌سوزی در محدوده آتش‌سوزی‌های گذشته محاسبه شد.

نتایج

درجه تطابق بین فاکتورهای مختلف مؤثر در آتش‌سوزی و آتش‌سوزی‌های واقعی

نتایج درجه تطابق بین فاکتورهای مختلف مؤثر در آتش‌سوزی و آتش‌سوزی‌های واقعی در جدول ۷ ارائه شده است.

روش تعیین درجه تطابق بین فاکتورهای مختلف مؤثر در آتش‌سوزی و آتش‌سوزی‌های واقعی برای وزن دهنی به فاکتورهای موثر در آتش‌سوزی و تهیه نقشه پتانسیل خطر آتش‌سوزی از روش تطابق (همپوشانی) بین زیرمعیارهای محیطی و انسان‌ساخت با آتش‌سوزی‌های گذشته استفاده شد. هر یک از نقشه‌های زیرمعیارها براساس حساسیت طبقه‌های آنها به آتش و با توجه به مطالعات انجام‌شده پیشین، از طبقه‌های بسیار پرخطر تا بسیار کم خطر طبقه‌بندی شدند (جدول‌های ۳ تا ۶). به‌منظور بررسی تطابق (همپوشانی) بین زیرمعیارهای مختلف مؤثر در آتش‌سوزی جنگل و آتش‌سوزی‌های واقعی به‌موقع پیوسته در جنگل‌های منطقه، مساحت طبقه‌های پرخطر هر نقشه زیرمعیار در محدوده آتش‌سوزی‌های واقعی محاسبه شد. سپس از تقسیم مساحت طبقه‌های پرخطر هر نقشه زیرمعیار در محدوده آتش‌سوزی‌های واقعی به مساحت کل محدوده‌های آتش‌سوزی‌های واقعی (مساحت کل محدوده‌های آتش‌سوزی ۱۰۳۹/۵ هکتار بود)، میزان همپوشانی هر نقشه زیرمعیار با آتش‌سوزی‌های واقعی به دست آمد. این تحلیل برای همه نقشه‌های زیرمعیارها انجام شد و میزان همپوشانی هر نقشه زیرمعیار با آتش‌سوزی‌های واقعی گذشته به صورت عددی بین صفر تا یک به دست آمد و به عنوان وزن هر زیرمعیار (متغیر) در تهیه نقشه پتانسیل خطر آتش‌سوزی جنگل درنظر گرفته شد. بدین ترتیب اگر طبقه پرخطر زیرمعیاری در محدوده‌های آتش‌سوزی‌های واقعی گذشته، مساحت بیشتری را به خود اختصاص دهد، آن زیرمعیار تطابق (همپوشانی) بیشتری با آتش‌سوزی داشته و عامل مؤثرتری در وقوع آتش‌سوزی محسوب می‌شود.

اختصاص وزن زیرمعیارها (لایه‌ها) در سیستم اطلاعات جغرافیایی برای تهیه نقشه پتانسیل خطر وقوع آتش‌سوزی پس از تهیه نقشه‌های ۱۷ زیرمعیار و به دست آوردن درجه تطابق آنها با آتش‌سوزی از طریق روش همپوشانی،

جدول ۷- درجه تطابق فاکتورهای مختلف موثر در آتشسوزی جنگل و آتشسوزی‌های واقعی

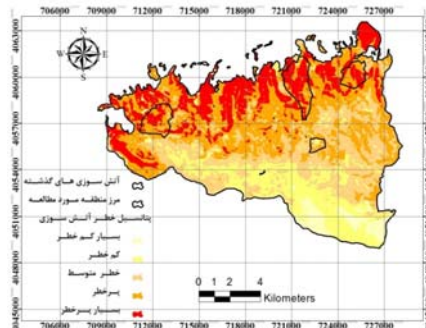
معیار	زیرمعیار	طبقات پر خطر	مساحت طبقات پر خطر زیرمعیار در محدوده آتشسوزی (هکتار)	درجه تطابق
شیب (درصد)	۴۰ - ۳۰ درصد و بیش از ۴۰ درصد	۳۵۹/۳۹	۰/۳	
جهت	جنوبی و غربی	۵۱۸/۲۸	۰/۵	
ارتفاع (متر)	۱۵۰-۱۱ و ۳۰۰-۱۵۰ متر	۵۵۱	۰/۵	
فیزیوگرافی	فاصله از رودخانه (متر)	۹۷۵/۳۱	۰/۹	
نوع پوشش گیاهی	منطقه حفاظت شده، تیپ‌های مرز، مرز- راش، راش-مرز، مرز- انجیلی، بوتهزار	۷۰۲/۵۹	۰/۷	
تراکم پوشش گیاهی (مترمکعب در هکتار)	منطقه حفاظت شده، تراکم ۳۵۰-۲۰۰ و بیش از ۳۵۰ مترمکعب	۷۶۲/۴۰	۰/۷	
بافت خاک	شنی لومی، شنی لومی- لومی	۵۵۰/۵۲	۰/۵	
زمین‌شناسنخانی	عمق لاشبرگ (سانتی‌متر) ۴/۴-۴/۱ و ۴/۱-۳/۲ سانتی‌متر	۶۱۹/۷۴	۰/۶	
رطوبت خاک (درصد)	۳۰/۵-۲۸/۸ و ۲۸/۸-۲۰/۵ درصد	۱۱/۱۱	۰/۰۱	
رطوبت لاشبرگ (درصد)	۱۸/۱-۰ درصد	۱۱/۱۱	۰/۰۱	
میانگین درجه حرارت سالانه (سانتی‌گراد)	۱۷/۲۱ و ۱۷/۲۱ تا ۱۷/۲۴	۶۴۴/۸۰	۰/۶	
میانگین بارندگی سالانه (میلی‌متر)	۶۰۰-۶۰۵ و ۶۰۵-۶۰۲/۲۳	۳۱۲/۸۵	۰/۳	
میانگین رطوبت نسبی سالانه (درصد)	۷۵/۷-۷۵/۵۶ و ۷۵/۵۶-۷۵/۴۲ درصد	۹۳۶/۷۶	۰/۹	
میانگین شدت باد سالانه (متر بر ثانیه)	۲۵-۲۳/۵ و ۲۵-۲۵ متر بر ثانیه	۳۱۳/۷۹	۰/۳	
فاصله از جاده (متر)	۲۰۰-۰ و ۲۰۰-۴۰۰ متر	۷۱۱/۱۶	۰/۷	
فاصله از زمین‌های زراعی (متر)	۱۰۰۰-۰ و ۱۰۰۰-۲۰۰۰ متر	۶۴۲/۲۵	۰/۶	انسان‌ساخت
فاصله از مناطق مسکونی (روستا) (متر)	۱۰۰۰-۰ و ۱۰۰۰-۲۰۰۰ متر	۱۹۴/۱۴	۰/۲	

نقشه خطر وقوع آتشسوزی با روش همپوشانی و نقشه خطر وقوع آتشسوزی جنگل با روش همپوشانی آن گذشته در جنگلهای بخش سه نکا- ظالمرود بهمنظر اعتبارسنجی آن اعتبرسنجی روش مورد استفاده در شکل ۳ نشان داده شده

نقشه خطر وقوع آتشسوزی جنگل با روش همپوشانی

نشان داده شده است.

است. نتایج اعتبارسنجی کمی نقشه پتانسیل خطر وقوع آتش‌سوزی و روش همپوشانی برای تهیه آن در جدول ۸ آشنا می‌باشد.



شکل ۳- نقشه خطر وقوع آتش‌سوزی با روش همپوشانی و اعتبارسنجی آن

جدول ۸- نتایج اعتبارسنجی کمی نقشه خطر وقوع آتش‌سوزی با روش همپوشانی

شماره آتش‌سوزی	مساحت (هکتار)	مساحت طبقات بسیار پرخطر و پرخطر در محدوده آتش‌سوزی	همپوشانی
۱	۳۱۳/۷۹	۲۹۷/۰۶	۰/۹۴
۲	۴۴۲/۶۹	۴۲۶/۲۴	۰/۹۶
۳	۲۱۲/۱۴	۲۰۳/۴۷	۰/۹۵
۴	۶۹/۸۷	۳۰/۰۳	۰/۴۲
کل	۱۰۳۹/۵۰	۹۵۶/۸۱	۰/۹۲

دیگری نیز نشان داده است که مناطق سوخته با توپوگرافی منطقه ارتباط معنی‌داری دارند (Vazquez & Moreno, 2001) که با نتایج این پژوهش همخوانی دارد. همچنین نتایج همپوشانی طبقات پرخطر نقشه‌های تراکم پوشش گیاهی، نوع پوشش گیاهی، عمق لاشبرگ، بافت خاک، رطوبت خاک و رطوبت لاشبرگ با آتش‌سوزی‌های گذشته نشان داد که این ضرایب به ترتیب برابر با ۰/۰۷، ۰/۰۵، ۰/۰۱ و ۰/۰۱ می‌باشند، بنابراین نوع پوشش گیاهی و تراکم آن نقش بسیار مهمی در آتش‌سوزی جنگل‌های بخش سه نکا- ظالمروود داشته است. نتایج پژوهش Biranvand و همکاران (۲۰۱۱) نیز نشان داد که

بحث پژوهش پیش‌رو به منظور بررسی نقش متغیرهای مختلف محیطی و انسان‌ساخت در آتش‌سوزی جنگل‌ها براساس همپوشانی این متغیرها با آتش‌سوزی‌های گذشته انجام شد. نتایج نشان داد که درجه تطابق طبقات پرخطر نقشه‌های شب، جهت، ارتفاع و فاصله از رودخانه با آتش‌سوزی‌های گذشته به ترتیب برابر با ۰/۳، ۰/۵ و ۰/۹ می‌باشد، بنابراین معیار فاصله از رودخانه بیشترین تأثیر را در وقوع آتش‌سوزی در جنگل‌های این منطقه داشته است. پس از آن جهت جغرافیایی و ارتفاع از سطح دریا اهمیت بیشتری در وقوع آتش‌سوزی‌های گذشته داشته‌اند. نتایج پژوهش

اینکه غالب گردشگران از راه جاده‌های جنگلی به منطقه جنگلی رسیده و به قصد پیکنیک یا از روی بی‌احتیاطی (انداختن ته سیگار در جنگل) باعث ایجاد آتش‌سوزی در جنگل‌های منطقه می‌شوند، چنین نتایجی منطقی به‌نظر می‌رسد. پس از فاصله از جاده، فاصله از زمین‌های کشاورزی بیشترین نقش را در وقوع آتش‌سوزی در جنگل‌های منطقه داشته است، زیرا بسیاری از آتش‌سوزی‌ها به عنوان ابزاری برای پاک‌سازی زمین‌های کشاورزی از بقایای محصولات زراعی و توسعه آنها ایجاد می‌شوند (Stolle *et al.*, 2003). در جنگل‌های منطقه نیز آتش‌سوزی‌های عمده توسط کشاورزان بهمنظور پاک کردن زمین‌های کشاورزی از بقایای حاصل از برداشت محصولات قبلی و توسعه زمین‌های زیرکشت به‌طور غیرقانونی ایجاد می‌شود (Anonymous, 2011). نتایج مطالعات دیگر نیز نشان داده است که درمورد زمین‌های کوچک کشاورزی، آتش‌سوزی ممکن است برای توسعه کشاورزی، پاک کردن محصولات قبلی یا سوزاندن بقایای کشاورزی انجام شود (Stolle *et al.*, 2003). وزن معیار فاصله از روستاهای در وقوع آتش‌سوزی در جنگل‌های منطقه بسیار ناچیز (۰/۲) بود که علت آن ممکن است خارج بودن محدوده روستاهای موجود از حدود جنگل‌های بخش سه نکا- ظالمرود و درنتیجه عدم حضور روستانشینان در این جنگل‌ها باشد که باعث شده است نقش این فاکتور در وقوع آتش‌سوزی‌ها بسیار کمرنگ باشد.

نتایج نهایی این پژوهش نشان داد که فاکتورهای نوع و تراکم پوشش گیاهی، فاصله از روختانه و میانگین رطوبت نسبی سالانه بیشترین تأثیر را در وقوع آتش‌سوزی در جنگل‌های بخش سه نکا- ظالمرود داشته‌اند و بنابراین دارای بیشترین اهمیت (وزن) در خطر وقوع آتش‌سوزی جنگل براساس روش همپوشانی می‌باشند. نتایج آنالیز نقشه خطر وقوع آتش‌سوزی براساس روش همپوشانی نشان می‌دهد که از مجموع مساحت حدود ۱۵۳۰۷/۲ هکتاری این جنگل‌ها، ۲۰ درصد از منطقه پتانسیل خطر بسیار زیاد و

پوشش گیاهی یکی از مهم‌ترین عامل‌های بوم‌شناختی مؤثر بر توسعه آتش‌سوزی است. پس از آن عمق لاشبرگ با وزن ۰/۶ بیشترین تأثیر را در وقوع آتش‌سوزی‌های گذشته در جنگل‌های منطقه داشته است. با توجه به اینکه طبق اظهار کارشناسان اداره کل منابع طبیعی استان مازندران، یکی از عامل‌های اصلی وقوع آتش‌سوزی در جنگل‌های بخش سه نکا- ظالمرود تجمع لاشبرگ خشک در اوخر تابستان و اوایل پاییز است (Anonymous, 2011) این نتایجی منطقی به‌نظر می‌رسد. همچنین عامل بافت خاک با درجه تطابق ۰/۵ فاکتور زیست‌شناختی بعدی مؤثر در آتش‌سوزی جنگل‌های منطقه بوده است. این در حالی است که تا به حال موردنی از اهمیت تأثیر بافت خاک بر وقوع آتش‌سوزی جنگل‌های منطقه گزارش نشده است. فاکتورهای زیست‌شناختی رطوبت خاک و رطوبت لاشبرگ نیز کمترین همپوشانی را با وقوع آتش‌سوزی در جنگل‌های این منطقه (وزن ۰/۰۱) داشته‌اند.

در ادامه این پژوهش، نتایج همپوشانی آتش‌سوزی‌های گذشته با طبقات پرخطر معیارهای اقلیمی نیز نشان داد که میزان این تطابق برای نقشه‌های رطوبت نسبی، دما، بارندگی و باد به ترتیب برابر با ۰/۹، ۰/۶، ۰/۳ و ۰/۰ می‌باشد. براساس نتایج، ابتدا فاکتور کاهش رطوبت نسبی و سپس افزایش دما بیشترین تأثیر را در وقوع آتش‌سوزی در جنگل‌های منطقه داشته‌اند. درجه حرارت منطقه پیشتر هم به عنوان فاکتور مهمی در وقوع آتش‌سوزی جنگل‌ها عنوان شده است (Yousefi & Jalilvand, 2010; Zumbrunnen *et al.*, 2011; Eskandari & Jalilvand, 2012).

همچنین نتایج پژوهش پیش‌رو نشان داد که میزان همپوشانی طبقات پرخطر نقشه‌های فاصله از جاده‌ها، زمین‌های کشاورزی و روستاهای با محدوده آتش‌سوزی‌های گذشته به ترتیب برابر با ۰/۷، ۰/۶ و ۰/۲ می‌باشد، بنابراین عامل جاده مهم‌ترین فاکتور انسان‌ساخت در وقوع آتش‌سوزی جنگل‌های منطقه محسوب می‌شود. اهمیت فاکتور جاده در وقوع آتش‌سوزی جنگل توسط محققان Stolle *et al.*, 2003; Lozano دیگری نیز اثبات شده است (

آتشسوزی‌های به‌موقع پیوسته در مناطق با خطر زیاد آتشسوزی (در نقشه پتانسیل تهیه شده) قرار گرفته است، در آینده نیز به احتمال زیاد آتشسوزی‌ها در مناطق با خطر زیاد اتفاق خواهد افتاد، بنابراین اقدامات کنترلی برای پیشگیری از وقوع آتشسوزی‌های آینده در مناطق پرخطر باید با حساسیت بیشتری انجام گیرد.

References

- Alexander, J.D., Seavy, N.E., Ralph, C.J. and Hogoboom, B., 2006. Vegetation and topographical correlates of fire severity from two fires in the Klamath-Siskiyou region of Oregon and California. International Journal of Wildland Fire, 15: 237-245.
 - Ali Mahmoudi Sarab, S., Feghhi, J. and Jabarian Amiri, B., 2012. Prediction of fire occurrence in forests and rangelands using Artificial Neural Network (Case study: Zagros forests, Eyzeh). Applied Ecology, 1(2): 75-85 (In Persian).
 - Alonso-Betanzos, A., Fontenla-Romero, O., Guijarro-Berdiñás, B., Hernández-Pereira, E., Canda, E., Jiménez, J., Luis Legido, J., Muñiz, S., Paz-Andrade, C. and Paz-Andrade, M.I., 2002. A neural network approach for forest fire risk estimation: 643-647. In: Van Harmelen, F. (Eds.). Proceedings of the 15th European Conference on Artificial Intelligence Lyon, France.
 - Anonymous, 2001. Available from: www.unifreiburg.deyfireglobeyiffnyorgyecefao yece-1.htm
 - Anonymous, 2010. Forestry plan of District Three of Neka-Zalemroud Forests. Natural Resources and Watershed Administration of Mazandaran Province,, Iran, 290p (In Persian).
 - Anonymous, 2011. Statistics and data of fire in 2010 in Mazandaran. Protection unit of MNRA Press, Iran, 190p.
 - Biranvand, A., Babaei Kafaki, S. and Kiadaliri, H., 2011. Investigation the ecological factors affecting fire spread in forest ecosystems (Case Study: Kakareza-Lorestan). Journal of Renewable Natural Resources Researches, 2(2): 1-13 (In Persian).
 - Broncano, M.J. and Retana, J., 2004. Topography and pre-fire vegetation affecting the spatial heterogeneity generated after a large forest
- ۳۳ درصد آن پتانسیل خطر زیاد برای آتشسوزی دارد. همچنین ۲۶ درصد از منطقه دارای پتانسیل خطر متوسط، ۱۶ درصد از منطقه دارای پتانسیل کم (کم خطر) و ۵ درصد از منطقه دارای پتانسیل بسیار کم (بسیار کم خطر) برای آتشسوزی می‌باشد. بنابراین بیشتر منطقه (۵۳ درصد) پتانسیل زیاد (پرخطر و بسیار پرخطر) برای آتشسوزی دارد.
- نتایج روی‌هم‌گذاری نقشه پتانسیل خطر وقوع آتشسوزی براساس روش همپوشانی با آتشسوزی‌های گذشته نشان داد که مناطقی که بیشتر در منطقه دچار حریق شده‌اند، با مناطق پرخطر و بسیار پرخطر از نظر آتشسوزی تا حد بسیار زیادی هم‌خوانی دارند و ۹۲ درصد از مساحت مناطق سوخته در محدوده دو طبقه مذکور قرار گرفته‌اند. در حالی که تنها شش درصد از مناطق سوخته در محدوده خطر متوسط برای آتشسوزی قرار دارند و مساحت محدوده‌های کم خطر و بسیار کم خطر در مناطق آتشسوزی‌های گذشته بسیار محدودتر است (دو درصد). به علاوه این نتیجه نشان‌دهنده اعتبار زیاد روش همپوشانی در ارزیابی خطر وقوع آتشسوزی و صحت زیاد نقشه پتانسیل آتشسوزی تهیه شده براساس آن است. در برخی موارد نتایج مطالعات انجام شده با روش‌های دیگر نشان داده است که مناطق آتشسوزی شده با مناطق پرخطر از نظر آتشسوزی تا حدی همپوشانی دارند، ولیکن در پژوهش پیش‌رو استفاده از روش همپوشانی داده‌های محیطی و انسان‌ساخت با آتشسوزی‌های گذشته در ارزیابی خطر وقوع آتشسوزی جنگل که روشنی متفاوت از روش پژوهش‌های پیشین بود، نشان داد که مناطق آتشسوزی شده با مناطق پرخطر از نظر آتشسوزی تا حد زیادی همپوشانی دارند که نشان‌دهنده دقیق زیاد نقشه پتانسیل تهیه شده با این روش می‌باشد. با توجه به اعتبار زیاد روش مورداستفاده و نقشه پتانسیل تهیه شده در پژوهش پیش‌رو، پیش‌بینی آتشسوزی‌های آینده در جنگل‌های منطقه مورد مطالعه با استفاده از نقشه پتانسیل تهیه شده امکان‌پذیر خواهد بود. بدین ترتیب همان‌طور که در گذشته ۹۲ درصد از

- Fire Ecology, 8(1): 77-97.
- Keane, R.E., Drurya, S.A., Karaua, E.C., Hessburg, P.F. and Reynolds, K.M., 2010. A method for mapping fire hazard and risk across multiple scales and its application in fire management. Ecological Modelling, 221: 2-18.
 - Keeley, J. and Fortheringham, J., 2001. History and management of crown-fire ecosystems: a summary and response. Conservation Biology, 15: 1561-1567.
 - Lentile, L.B., Holden, Z.A., Smith, A.M.S., Falkowski, M.J., Hudak, A.T., Morgan, P., Lewis, S.A., Gessler P.E. and Benson, N.C., 2006. Remote sensing techniques to assess active fire characteristics and postfire effects. International Journal of Wildland Fire, 15: 319-345.
 - Lozano, F.J., Suárez-Seoane, S., Kelly M. and Luis, E., 2008. A multi-scale approach for modeling fire occurrence probability using satellite data and classification trees: A case study in a mountainous Mediterranean region. Remote Sensing of Environment, 112: 708-719.
 - Mahdavi, A., Fallah Shamsi, S.R. and Nazari, R., 2012. Forests and rangelands' wildfire risk zoning using GIS and AHP techniques. Caspian Journal of Environmental Sciences, 10(1): 43-52.
 - Martinez, J., Vega-Garcia, C. and Chuvieco, E., 2009. Human-caused wildfire risk rating for prevention planning in Spain. Journal of Environmental Management, 90: 1241-1252.
 - Minnich, R.A., 2001. An integrated model of two fire regimes. Conservation Biology, 15: 1549-1553.
 - Mohammadi, F., Shabani, N., Pourhashemi, M. and Fatehi, P., 2010. Forest fire hazard mapping using AHP and GIS. Iranian Journal of Forest and Poplar Researches, 18(4): 569-586 (In Persian).
 - Paz, Sh., Carmel, Y., Jahshan, F. and Shoshany, M., 2011. Post-fire analysis of pre-fire mapping of fire-risk: A recent case study from Mt. Carmel (Israel). Forest Ecology and Management, 262: 1184-1188.
 - Radpour, S., Ismailzadeh, M., Yazdani, V., Sohani Darban, A.R. and Jahedipour, S., 2011. Application of artificial neural networks in estimating the occurrence of fire. Proceedings of the First international conferences on wildfire in natural resources lands. Iran, 26-28 wildfire in the Mediterranean Basin. International Journal of Wildland Fire, 13: 209-216.
 - Chuvieco, E. and Congalton, R.G., 1989. Application of remote sensing and geographic information systems to forest fire hazard mapping. Remote Sensing of Environment, 29: 147-159.
 - Cortez, P. and Morais, A., 2007. A data mining approach to predict forest fires using meteorological data. Proceedings of the 13th Portugese Conference on Artificial Intelligence. Portugal: 512-523.
 - Dong, X.U., Li-min, D., Guo-fan, Sh., Lei, T. and Hui, W., 2005. Forest fire risk zone mapping from satellite images and GIS for Baihe Forestry Bureau, Jilin, China. Journal of Forestry Research, 16(3): 169-174.
 - Eskandari, S. and Jalilvand, H., 2012. Climate change and its impact on number and area of fire of forest areas of Eastern Mazandaran. Proceedings of the Third International Conference on Climate Change and Tree Chronology. Iran, 16-18 May. 2012: 15p (In Persian).
 - Eskandari, S., Oladi Ghadikolaei, J. and Jalaivand, H., 2013a. Efficiency evaluation of Dong model for determination of fire risk potential in Zarrin Abad forests of Neka-Mazandaran province. Iranian Journal of Forest and Poplar Research, 21(3): 31-44 (In Persian).
 - Eskandari, S., Oladi Ghadikolaei, J., Jalilvand, H., Saradjian, MR., 2013b. Forest fire risk modeling and prediction in district three of Neka-Zalemroud forest using geographical information system. Iranian Journal of Forest and Poplar Research, 21(2): 203-217 (In Persian).
 - FAO, 2007. Fire Management-Global Assessment 2006, A Thematic Study Prepared in the Framework of the Global Forest Resources Assessment 2005. FAO Press, Rome.
 - Jaiswal, R.K., Mukherjee, S., Raju, D.K. and Saxena, R., 2002. Forest fire risk zone mapping from satellite imagery and GIS. International Journal of Applied Earth Observation and Geoinformation, 4: 1-10.
 - Jurdao, S., Chuvieco, E. and Arevalillo, J.M., 2012. Modelling fire ignition probability from satellite estimates of live fuel moisture content.

- Vadrevu, K.P., Eaturu, A. and Badarinath, K.V.S., 2009. Fire risk evaluation using multicriteria analysis, a case study. *Environment Monitoring and Assessment*, 166(1-4): 223-239.
- Vakalis, D., Sarimveis, H., Kiranoudis, C.T., Alexandridis, A. and Bafas, G.V., 2004. A GIS based operational system for wildland fire crisis management, I. Mathematical modelling and simulation. *Applied Mathematical Modelling*, 28(4): 389-410.
- Vasconcelo, M.J., Silva, S., Tome, M., Alvim, M. and Perelra, J.M.C., 2001. Spatial prediction of fire ignition probabilities: comparing logistic regression and neural networks. *Photogrammetric Engineering and Remote Sensing*, 67(1): 73-81.
- Vasilakos, C., Kalabokidis, K., Hatzopoulos, J. and Matsinos, I., 2009. Identifying wildland fire ignition factors through sensitivity analysis of a neural network. *Natural Hazards*, 50(1): 125-143.
- Vazquez, A. and Moreno, J.M., 2001. Spatial distribution of forest fires in Sierra de Gredos (central Spain). *Forest Ecology and Management*, 147(1): 55-65.
- Yousefi, A. and Jalilvand, H., 2010. Investigation of fire situation in forest and pasture areas of Mazandaran province (Basin of Sari Natural Resources Administration) from 2004 to 2007. *Proceedings of the Second International Conference on Climate Change and Tree Chronology*, Iran, 14-16 May 2010: 15p (In Persian).
- Zarekar, A., Kazemi Zamani, B., Ghorbani, S., Ashegh Moalla, M. and Jafari, H., 2013. Mapping spatial distribution of forest fire using MCDM and GIS (Case study: three forest zones in Guilan Province). *Iranian Journal of Forest and Poplar Research*, 21(2): 218-230 (In Persian).
- Zobeiri, M., 2007. *Forest Biometry*. University of Tehran Press, Tehran, 405p (In Persian).
- Zumbrunnen, T., Pezzattic, G.B., Menéndezd, P., Bugmann, H., Bürgia, M. and Conederac, M., 2011. Weather and human impacts on forest fires: 100 years of fire history in two climatic regions of Switzerland. *Forest Ecology and Management*, 261: 2188-2199.
- Oct. 2011: 8p (In Persian).
- Röder, A., Hill, J., Duguy, B., Alloza, J.A. and Vallejo, R., 2008. Using long time series of Landsat data to monitor fire events and post-fire dynamics and identify driving factors, a case study in the Ayora region (eastern Spain). *Remote Sensing of Environment*, 112: 259-273.
- Rollins, M.G., Keane, R.E. and Parsons, R.A., 2004. Mapping fuels and fire regimes using remote sensing, ecosystem simulation and gradient modeling. *Ecological Applications*, 14(1): 75-95.
- Salamat, H., Mostafalou, H., Mastoori, A. and Honardoost, F., 2011. Evaluation and provision of forest fire risk map using GIS in Golestan forests. *Proceedings of the First International Conferences on Wildfire in Natural Resources Lands*. Iran, 26-28 Oct. 2011: 10 p (In Persian).
- Santiago, I.T.F. and Kheladze, N., 2011. GIS wildland fire hazard modeling in Georgia. MATRA project report, Caucasus Environmental NGO Network, 98p.
- Schoennagel, T., Veblen, T.T. and Romme, W.H., 2004. The interaction of fire, fuels, and climate across Rocky Mountain forests. *BioScience*, 54: 661-676.
- Sibold, J.S. and Veblen, T.T., 2006. Relationships of subalpine forest fires in the Colorado Front Range with interannual and multidecadal-scale climatic variation. *Journal of Biogeography*, 33: 833-842.
- Sitanggang, I.S., Yaakob, R., Mustapha, N., Ainuddin, A.N., 2013. Predictive models for hotspots occurrence using decision tree algorithm and logistic regression. *Journal of Applied Sciences*, 13(2): 252-261.
- Sowmya, S.V. and Somashekar, R.K., 2010. Application of remote sensing and geographical information system in mapping forest fire risk zone at Bhadra wildlife sanctuary, India. *Journal of Environmental Biology*, 31(6): 969-974.
- Stolle, F., Chomitz, K.M., Lambin, E.F. and Tomich, T.P., 2003. Human ecological intervention and the role of forest fires in human ecology. *Forest Ecology and Management*, 179: 277-292.
- Stolzenburg, W., 2001. Fire in the rain forest. *Nature Conservancy*, 31: 22-27.

Developing a method to assess forest fire risk using environmental and human variables

S. Eskandari

Ph.D. Forestry, Forestry Department, Sari Agricultural Sciences and Natural Resources University, Sari, Iran
E-mail: saeedeheskandari119@yahoo.com

Received: 08.22.2014

Accepted: 01.12.2015

Abstract

A study was conducted to evaluate fire risk using environmental- and human-induced factors in District Three of Neka-Zalemroud forests. For this purpose, a range of effective sub-criteria including physiographic, biological, climatic and human variables were applied. The historical fire map in study area was additionally used. It was overlaid on the spatial map of each sub-criterion to explore the correlation of the weighted high-risk classes with the historical fire occurrences. Fire risk potential map was provided based on weighted overlay of all effective sub-criteria in five classes. The historical fire map was consequently overlaid on fire risk potential map. Results showed that vegetation type and density, distance from river and the averaged relative annual humidity were associated with the highest effects in fire occurrence. Results also demonstrated the agreement of high-risk areas in the potential fire risk map with the historical fires, which supports the high validity of the applied method to assess the fire risk across the study area.

Keywords: Neka-Zalemroud Forests, forest fire risk, GIS, human-induced criteria, environmental- induced criteria.